

طراحی یک الگوریتم فرا ابتکاری جدید بر اساس رفتار توابع ریاضی $\tanh(x)$ و $x\cos(x)$

سید هادی میرقادری*، مصطفی زندیه**

چکیده

امروزه استفاده از روش‌های فرا ابتکاری برای دست‌یابی به پاسخ‌های رضایتبخش در بهینه‌یابی ترکیبیاتی رشد چشمگیری یافته است. به دلیل نزدیک شدن مسائل به شرایط موجود در دنیای واقعی و در نتیجه افزایش پیچیدگی مسائل و ناتوانی روش‌های ریاضی فعلی برای ارائه نقطه بهینه با صرف معقول منابع، این اقبال تشدید شده است. توسعه روش‌های فرا ابتکاری معمولاً با بررسی نحوه بهینه‌یابی در طبیعت و الهام گرفتن از آن صورت می‌گیرد که از جمله می‌توان به الگوریتم ژنتیک، الگوریتم مورچگان و شبیه‌سازی تبرید اشاره کرد.

الگوریتم پیشنهادی این مقاله، با بررسی رفتار جالب توجه دو تابع $\tanh(x)$ و $x\cos(x)$ در حلقه‌های تکرار، توسعه یافته است و روشی برای یافتن همسایگی در توابع پیوسته ارائه می‌دهد که نسبت به الگوریتم بهینه‌یابی شبیه‌سازی تبرید و الگوریتم شبیه‌سازی تبرید مبتنی بر تئوری ابر، عملکرد بهتری از نظر دقت و سرعت دارد. برتری الگوریتم پیشنهادی به دو الگوریتم یاد شده، با مقایسه عملکرد این الگوریتم‌ها در یافتن نقطه (نقاط) بهینه هفت تابع پیوسته معروف به اثبات رسید.

کلید واژه‌ها: فرا ابتکاری، جستجوی همسایگی، بهینه‌یابی پیوسته، شبیه‌سازی تبرید.

تاریخ دریافت مقاله: ۸۹/۱۰/۲، تاریخ پذیرش مقاله: ۹۰/۲/۲۵.

*دانشجوی دکتری مدیریت تولید و عملیات دانشگاه شهید بهشتی. (نویسنده مسئول).

E-mail: Hadi.Mirghaderi@yahoo.com

** استادیار دانشگاه شهید بهشتی.

مقدمه

یک الگوریتم، توصیفی از گام‌هایی است که به گونه‌ای مناسب‌تر در یک برنامه کامپیوتری پیاده‌سازی می‌شود تا تقریبی از یک نقطه بهینه یافت شود. طراحی یک الگوریتم می‌تواند چند هدف داشته باشد؛ از جمله دست‌یابی به نقطه بهینه محلی، دستیابی به نقطه بهینه سراسری، یافتن همه نقاط بهینه سراسری، یافتن همه نقاط بهینه سراسری و محلی [۷].

الگوریتم‌هایی که در زمینه بهینه‌یابی ترکیبیاتی^۱ ارائه شده‌اند، قابل دسته‌بندی به دو گروه الگوریتم‌های کامل^۲ و الگوریتم‌های تقریبی^۳ هستند. الگوریتم‌های کامل، متضمن یافتن یک جواب بهینه در زمان محدود برای همه مصادیق یک مسأله بهینه‌یابی در اندازه متناهی (محدود) هستند [۲].

الگوریتم‌های تقریب^۴ رسماً در دهه ۱۹۶۰ به منظور تولید جواب‌های نزدیک به بهینه^۵ معرفی شدند. این الگوریتم‌ها برای آن دسته از مسائل بهینه‌یابی به کار می‌روند که با روش‌های محاسباتی زمان خود نمی‌توان آنها را به صورت اثربخش حل کرد. با ظهور تئوری غیرچندجمله‌ای تام^۶ در اوایل دهه ۱۹۷۰، این حوزه علمی مهم‌تر شد، زیرا نیاز به تولید جواب‌های نزدیک به بهینه برای مسائل بهینه‌یابی غیرچندجمله‌ای سخت^۷ به منظور غلبه بر باغی‌گری محاسباتی^۸ این مسائل به شدت احساس می‌شد. الگوریتم‌های آن دهه، جواب نزدیک به بهینه در زمان کوتاه به یک مسأله می‌داد و برای سایر مسائل نیز به سختی جواب زیربهینه^۹ تولید می‌کرد [۶].

روش‌های تقریبی، عموماً مبتنی بر دو اصل پایه‌ای هستند: تکنیک‌های ابتکاری سازنده^{۱۰} و روش‌های جستجوی محلی^{۱۱}. تکنیک‌های ابتکاری سازنده، مربوط به فرایند ساختن جواب‌های اولیه قبل از انجام عملیات دیگری است. جستجوی محلی می‌تواند به عنوان ساز و کار ابتکاری در نظر گرفته شود که در آن، همسایه‌های جواب فعلی به عنوان جایگزین‌های بالقوه جواب فعلی بررسی می‌شوند. اگر یکی از همسایه‌های جواب فعلی پذیرفته شود، حرکت به سوی جواب جدید آغاز می‌شود و همسایه‌های این جواب مورد توجه قرار می‌گیرند [۴].

-
1. Combinatorial Optimization
 2. Complete Algorithms
 3. Approximate Algorithms
 4. Approximation Algorithms
 5. Near-Optimal Solutions
 6. Theory of NP-Completeness
 7. NP-hard Optimization Problem
 8. Computational Intractability
 9. Suboptimal Solutions
 10. Constructive Heuristics
 11. Local Search Methods

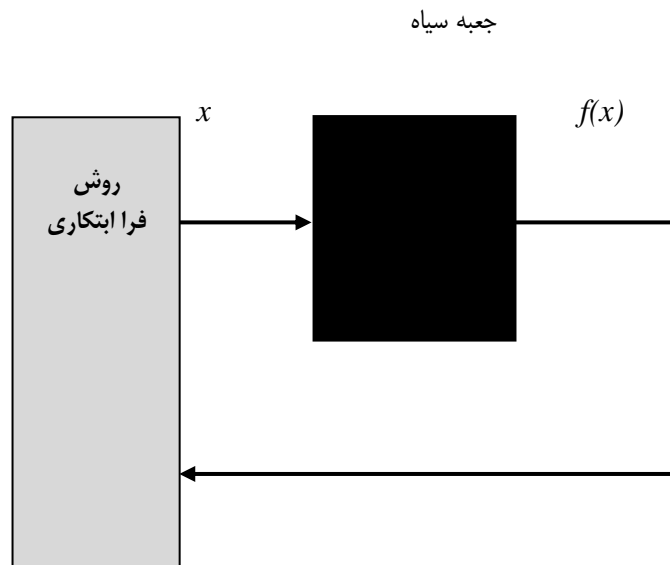
برخی منابع علمی، تکنیک‌های ابتکاری را به دو خانواده ابتکاری‌های خاص^۱ و فرا ابتکاری‌ها^۲ تقسیم کرده‌اند [۱۱]. ابتکاری‌های خاص برای حل یک مسأله خاص و یا یک مصداق از آن طراحی می‌شوند، در حالی که فرا ابتکاری‌ها الگوریتم‌های عموم‌منظوره^۳ هستند که قابل استفاده در تقریباً همه مسائل بهینه‌یابی هستند.

الگوریتم‌های فرا ابتکاری

در سی سال گذشته، نوع جدیدی از الگوریتم‌های تقریب ظهور یافته‌اند که اساساً هدف از آنها ترکیب روش‌های ابتکاری در چارچوبهای کلان‌تر به منظور کاوش کارا و اثربخش فضای جستجو می‌باشد. امروزه از این روش‌ها با عنوان روشهای فرا ابتکاری (متاهیوریستیک) نام برده می‌شود. این واژه را اولین بار «گلوور»^۴ در ۱۹۸۶ به کار برد که از ترکیب دو واژه یونانی «متا» و «هیوریستیک» ساخته شده است. پیشوند «متا» به معنای فراتر یا در سطحی بالاتر است و «هیوریستیک» به معنای یافتن است. قبل از پذیرش عمومی واژه فرا ابتکاری، عبارت «روش ابتکاری نوین»^۵ برای اینگونه روش‌ها به کار می‌رفت [۶]. یک روش فرا ابتکاری، در حقیقت، یک روش ابتکاری برای حل یک طبقه بسیار عمومی از مسائل است و ترکیبی کارآمد از توابع هدف یا روش‌های ابتکاری مبتنی بر توابع هدف می‌باشد [۱۳].

مزیت اصلی استفاده از روش‌های فرا ابتکاری، وجود مفروضات محدود در فرموله کردن مدل است، در حالی که این امر در برنامه‌ریزی ریاضی مصداق ندارد. برخی از مسائل بهینه‌یابی را نمی‌توان با نمادهای تحلیلی-ریاضی بدون ابهام فرموله کرد. در واقع، تابع هدف در این موارد، مانند یک جعبه سیاه^۶ است. در بهینه‌یابی جعبه سیاه، هیچ قاعده تحلیلی برای هدف وجود ندارد [۱۱] (نمودار ۱).

-
1. Specific Heuristics
 2. Metaheuristics
 3. General-Purposer
 4. Glover
 5. Modern Heuristics
 6. Black box



شکل ۱. سناریوی جعبه سیاه برای تابع هدف

الگوریتم‌های فرا ابتکاری بسیاری ارائه شده‌اند. این الگوریتم‌ها کارایی بالاتری برای برخی مسائل دارند و در برخی مسائل با مشکلاتی در زمینه نزدیک شدن به جواب بهینه مواجه می‌شوند. در حقیقت، با توجه به ساختار مسأله و نوع پیچیدگی آن، یک فرد خبره در زمینه الگوریتم‌های فرا ابتکاری، یک الگوریتم را برای حل برمی‌گزیند و پارامترهای مربوط به آن الگوریتم را با استفاده از روش علمی طراحی آزمایش‌ها^۱ یا روش آزمون و خطا تنظیم می‌کند. جدول ۱ مهمترین روش‌های فرا ابتکاری را نشان می‌دهد.

بسیاری از فرا ابتکاری‌ها ملهم از فرایندهای طبیعی یا فیزیکی هستند. بهینه‌یابی لانه مورچه^۱، الگوریتمهای تکاملی^۲ و شبیه‌سازی تبرید^۳، مثالهایی از چنین الگوریتم‌هایی هستند. ACO و EAs از طبیعت و SA از فرایند سردسازی فلزات در تولید فلزات مستحکم الهام گرفته شده‌اند [۳].

جدول ۱. مهمترین روش‌های فرا ابتکاری

الگوریتم	ابداع کننده	سال
Metropolis-Hastings algorithm	Hastings	۱۹۷۰
genetic algorithm	Holland	۱۹۷۵
genetic programming	Smith	۱۹۸۰
simulated annealing	Kirkpatrick et al.	۱۹۸۳
tabu search	Glover	۱۹۸۶
artificial immune system	Farmer et al.	۱۹۸۶
memetic algorithm	Moscato	۱۹۸۹
ant colony algorithm	Dorigo	۱۹۹۲
MOGA for multiobjective optimization	Fleming	۱۹۹۳
NSGA for multiobjective optimization	Fonseca	۱۹۹۴
particle swarm optimization	Kennedy and Eberhart	۱۹۹۵
CMA-ES	Hansen and Ostermeier	۱۹۹۶
Storn and Price	differential evolution	۱۹۹۷
Rubinstein	cross entropy method	۱۹۹۷
harmony search	Geem et al.	۲۰۰۱
NSGA-II for multiobjective optimization	Deb et al.	۲۰۰۲
bee colony optimization	Nakrani and Tovey	۲۰۰۴
Glowworm swarm optimization	Krishnanand and Ghose	۲۰۰۵
Artificial Bee Colony Algorithm (ABC)	Karaboga	۲۰۰۵
honey-bee mating optimization	Haddad et al.	۲۰۰۶
Intelligent Water Drops	Hamed Shah-Hosseini	۲۰۰۷
firefly algorithm	Yang	۲۰۰۸
Monkey Search	Mucherino and Seref	۲۰۰۸
cuckoo search	Yang and Deb	۲۰۰۹
bat algorithm	Yang	۲۰۰۹
X algorithm.	Metaheuristic Solutions	۲۰۱۱

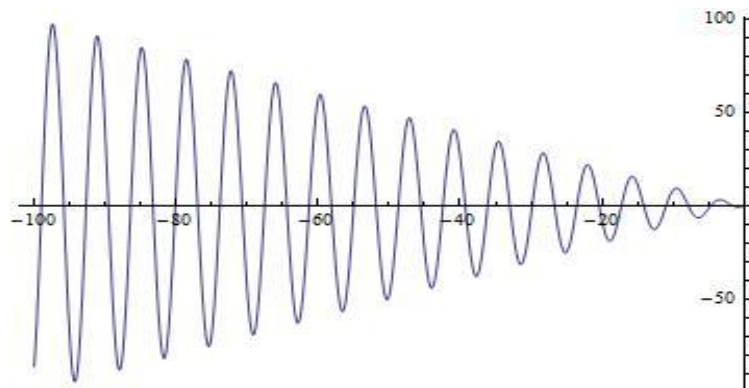
منبع داده‌ها: [۱۰]

1. Ant Colony Optimization (ACO)
2. Evolutionary Algorithms (EAs)
3. Simulated Annealing (SA)

تولید جواب در فرا ابتکاری‌ها

نحوه تعیین همسایه‌ها از جواب فعلی، روش ارزیابی همسایه‌ها و چگونگی انتخاب همسایه جایگزین جواب فعلی در هر روش فرا ابتکاری، به گونه‌ای خاص انجام می‌شود. در بین روال‌های بهینه‌یابی^۱، روش‌های جواب‌یابی مکرر، نقش مهمی دارند. مهمترین گام در یک روال تکراری عبارتست از تولید جواب جدید s' از جواب فعلی s و آزمون اینکه این گام باید تکرار شود یا نه. تکنیک‌های جستجوی همسایگی^۲ روال‌های تکراری هستند که در آنها همسایه $N(s)$ برای هر جواب s تعریف می‌شود و جواب بعدی s' از بین جواب‌های $N(s)$ انتخاب می‌شود [۵].

خین یائو^۳ [۱۴] بر اساس تحقیقات خود بیان می‌دارد شبیه‌سازی تبریدی که از تعداد جواب همسایه بیشتری استفاده می‌کند، بهتر از موردی است که از تعداد همسایه کمتر بهره می‌گیرد. مشخص گردیده است که عملکرد واقعی شبیه‌سازی تبرید، بستگی بسیار زیادی به انتخاب پارامترها دارد. با این حال، تحقیقات زیادی در مورد پارامترهای مربوط به همسایگی، خصوصاً در کل فرایند شبیه‌سازی تبرید، انجام نشده است. لیو^۴ از طریق آزمایش‌های محاسباتی، اثر اندازه همسایگی بر فرایند شبیه‌سازی تبرید در مسأله زمانبندی فلوشاپ را بررسی کرد و یک روال بهبودیافته شبیه‌سازی تبرید با اندازه متغیر همسایه را پیشنهاد کرد که در همه موارد بهتر، از روش سنتی شبیه‌سازی تبرید عمل می‌کرد [۸]. در ادامه فعالیت‌های تحقیقاتی برای توسعه شبیه‌سازی تبرید، لو، یوان و ژانگ^۵ [۹] روشی مبتنی بر تئوری ابر^۶ را ارائه نمودند که امکان جستجوی بهتر همسایگی‌ها و دستیابی به جواب‌های بهتر را فراهم نمود.



نمودار ۲. منحنی تابع $x \cos(x)$ در بازه $[-100, 0]$

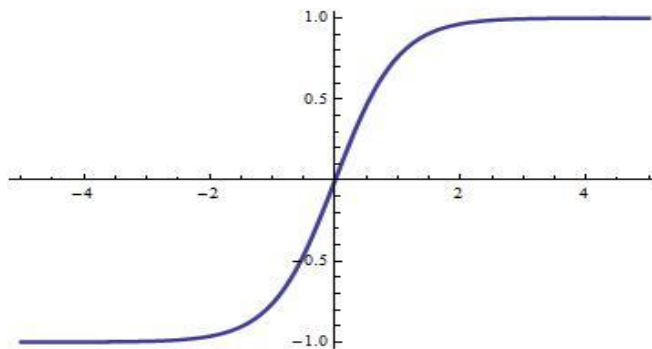
1. Optimization Procedures
2. Neighborhood Search Techniques
3. Xin Yao
4. Liu
5. Lu, Yuan and Zhang
6. Cloud Theory

توابع مورد استفاده در تولید جواب

در روش پیشنهادی این مقاله، دو تابع $\text{xCos}(x)$ و $\text{tanh}(x)$ نقش مهمی در تولید جوابهای همسایه دارند. در ادامه، ویژگیهای مهم این دو تابع بررسی می‌شود.

الف) $\text{xCos}(x)$

این تابع، دارای محور تقارن $x=0$ است. نمودار ۲، این تابع را در بازه $[-100, 0]$ نشان می‌دهد. با نزدیک شدن مقدار x به صفر، دامنه نوسان مقدار تابع کاهش می‌یابد که از این خاصیت برای همگرا نمودن الگوریتم استفاده شده است.



ب) $\text{tanh}(x)$

این تابع، دارای مرکز تقارن $(0, 0)$ و برد $(-1, 1)$ است. اگر عدد ثابتی مانند a در این تابع ضرب شود، برد آن شامل بازه باز $(-a, a)$ می‌شود. از این خاصیت برای تولید جوابهایی در فاصله اندک از جواب فعلی استفاده شده است.

معرفی الگوریتم پیشنهادی

این الگوریتم، مبتنی بر جمعیتی از جواب‌هاست و مهمترین قسمت آن، فرمولهای تولید جوابهای جدید از بهترین جواب فعلی است. دیگر ویژگی این الگوریتم، مشخص بودن تعداد تکرار به عنوان یک پارامتر ورودی است که باعث ثبات در عملکرد زمانی الگوریتم، یعنی انحراف معیار اندک در زمانهای خاتمه الگوریتم در اجراهای متعدد می‌شود. جدول ۲ شبه کد الگوریتم را نشان می‌دهد.

جدول ۲. شبه‌کد الگوریتم پیشنهادی

مقداردهی پارامترها

تعداد تکرار (K)
تعداد جواب‌های به‌دست آمده از فرمول اول (n_1)
تعداد جواب‌های به‌دست آمده از فرمول دوم (n_2)

شروع

$i \leftarrow 1$
 $F^* \leftarrow +\infty$ (بهترین مقدار تابع هدف تا کنون)
کران بالا (U) و کران پایین (L) برای جواب‌ها را دریافت کن.
تعداد $n_1 + n_2$ جواب اولیه را به صورت تصادفی ایجاد کن.
حلقه از $i=1$ تا $i=0.001$ با گام $-\frac{0.999}{K}$ انجام بده.

جواب‌های غیر موجه را تعمیر کن.
جواب‌ها را ارزیابی و مقدار تابع هدف به ازای هر جواب را پیدا کن.
بهترین مقدار تابع هدف از بین مقادیر فوق $F^* \leftarrow F$
جواب مربوط به بهترین مقدار تابع هدف $S^* \leftarrow S$
اگر $F \geq F^*$ ، آنگاه $F^* \leftarrow F$ و $S^* \leftarrow S$

تعداد n_1 جواب از طریق فرمول اول ($i \cos(100i) \times R \times S^*$) ایجاد کن. (R عدد تصادفی است).
تعداد n_2 جواب از طریق فرمول دوم ($0.05 \tanh(i \cos(100i)) \times R \times (U - L) + S^*$) ایجاد کن.

پایان حلقه

F^* و S^* را چاپ کن.

پایان

آزمون عملکرد الگوریتم

برای بررسی عملکرد الگوریتم پیشنهادی، از هفت تابع معروف در بهینه‌یابی پیوسته استفاده شد. این توابع را لو، یوان و ژانگ [۹] به منظور بررسی کارایی الگوریتم شبیه‌سازی تبرید مبتنی بر تئوری ابر^۱ به کار گرفتند. این توابع و دامنه بررسی آنها در جدول ۳ آمده‌اند. نمودار سه بعدی این توابع نیز در نمودارهای ۴ تا ۱۰ مشاهده می‌شود.

جدول ۳. مشخصات توابع مورد استفاده برای آزمون عملکرد الگوریتم

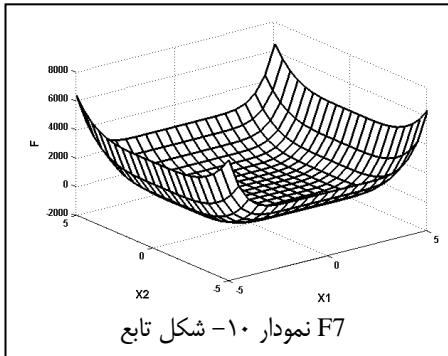
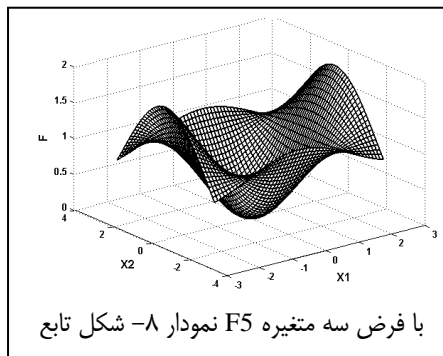
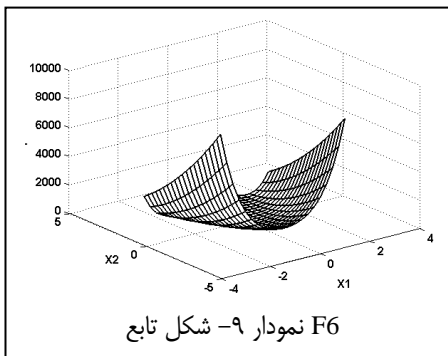
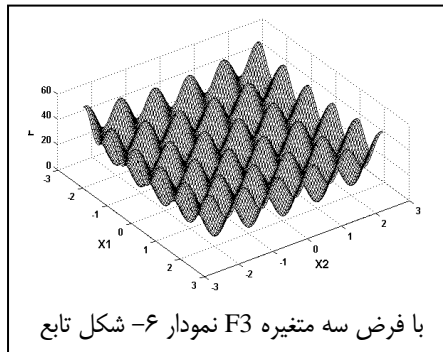
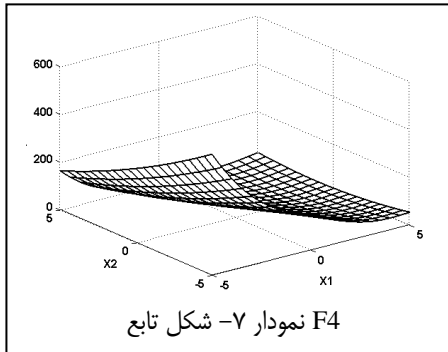
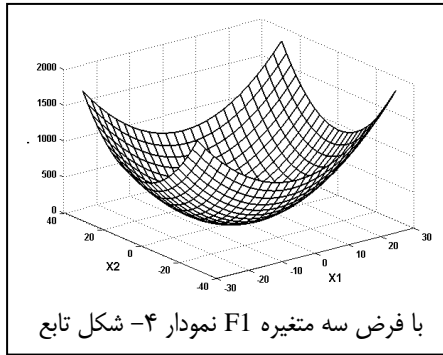
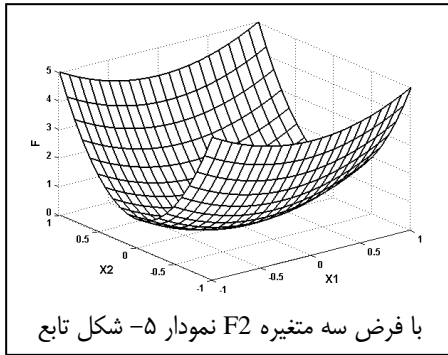
تابع	ضابطه تابع	دامنه تابع
Sphere model function	$F_1 = \sum_{i=1}^5 x_i^2$	$ x_i \leq 30$
Hyper-ellipsoid function	$F_2 = \sum_{i=1}^{10} i^2 x_i^2$	$ x_i \leq 1$
Generalized Rastrigin's function	$F_3 = \sum_{i=1}^{30} (x_i^2 - 10 \cos(2\pi x_i) + 10)$	$ x_i \leq 2.56$
Branin function	$F_4 = \left(x_2 - \frac{5.1}{4\pi^2} x_1^2 + \frac{5}{\pi} x_1 - 6\right)^2 + 10 \left(1 - \frac{1}{8\pi}\right) \cos x_1 + 10$	$ x_i \leq 5$
Griewank's function	$F_5 = \frac{1}{4000} \sum_{i=1}^{30} x_i^2 - \prod_{i=1}^{30} \cos\left(\frac{x_i}{\sqrt{i}}\right) + 1$	$ x_i \leq 256$
DeJong's f2 function	$F_6 = 100(x_1^2 - x_2)^2 + (1 - x_1)^2$	$ x_i \leq 2.56$
Six hump camel back function	$F_7 = 4x_1^2 - 2.1x_1^4 + x_1^6/3 + x_1x_2 - 4x_2^2 + 4x_2^4$	$ x_i \leq 5$

در بین توابع مورد بحث، F1، F2 و F3 پیوسته و تک قله‌ای^۱ هستند، یعنی تنها یک بهترین جواب برای آنها وجود دارد. F4 پیوسته و چندقله‌ای است، یعنی دارای چند جواب بهینه است. چهار تابع مذکور برای آزمون قابلیت جستجوی الگوریتم به کار می‌روند.

F5 و F6 غیرخطی و دارای چند کمینه هستند. F5 دارای کمینه محلی در $x_i = \pm k \pi \sqrt{i}$ ، $i = 1, 2, \dots, 256$ و $k = 1, 2, \dots, 256$ است. F6 نقاط کمینه فراوانی در نزدیکی $x_1 = x_2 = 1$ دارد. مقادیر این دو تابع با تغییر x به صورت خطی تغییر نمی‌کنند و لذا از آنها برای آزمون توان فرار الگوریتم از افتادن در دام کمینه‌های محلی و رهایی از همگرایی زودرس استفاده شده است.

F7 یک تابع خاص غیرخطی چند کمینه است مقادیر آن، نه تنها کوچک بلکه نزدیک به یکدیگر هستند. به علاوه، این تابع، بینهایت کمینه محلی دارد که می‌تواند عملیات جستجو را به راحتی سد کند. دو نقطه $(-0.712656, -0.89842)$ و $(0.712656, 0.89842)$ نقاط کمینه سراسری این تابع هستند که F7 به ازای آنها دارای مقدار $1/0.316285$ خواهد شد. به خاطر دشوار بودن یافتن جواب بهینه برای این تابع، از آن برای آزمون توانایی الگوریتم در نزدیک شدن به بهینه سراسری و پایایی عملکرد آن استفاده شده است. شکل تابع در نمودار ۱۰ نشان داده شده است.

به منظور قابل مقایسه کردن الگوریتم پیشنهادی با الگوریتم‌های SA و CSA، آزمایش‌هایی مشابه آنچه برای این دو الگوریتم انجام شده بود، طراحی و اجرا شد. ویژگی‌های مشترک این آزمایش‌ها عبارت بودند از برنامه‌نویسی الگوریتم با نرم‌افزار MATLAB، 100 بار تکرار الگوریتم برای هر تابع با رایانه‌ای دارای پردازنده ۳ گیگاهرتز و RAM یک گیگابایت. مقدار پارامترهای الگوریتم نیز $K=300$ ، $n1=10$ و $n2=20$ قرار داده شد. نتایج انجام آزمایش در مورد الگوریتم پیشنهادی به همراه نتایج گزارش شده توسط لو، یوان و ژانگ در جدول ۴ آمده است.



همان‌گونه که ملاحظه می‌شود، این الگوریتم از نظر سرعت و دقت، نسبت به دو الگوریتم دیگر، برتری محسوسی دارد. به منظور بررسی آماری نتایج الگوریتم، فرضیه اصلی این تحقیق به صورت زیر بیان گردید:

«عملکرد الگوریتم پیشنهادی، بهتر از عملکرد الگوریتم‌های SA و CSA است.»
فرضیه‌های فرعی مربوط به کارایی الگوریتم پیشنهادی به شرح زیر است:

- ۱- جواب بهتری برای تابع F1 به دست می‌دهد.
- ۲- جواب بهتری برای تابع F2 به دست می‌دهد.
- ۳- جواب بهتری برای تابع F3 به دست می‌دهد.
- ۴- جواب بهتری برای تابع F4 به دست می‌دهد.
- ۵- جواب بهتری برای تابع F5 به دست می‌دهد.
- ۶- جواب بهتری برای تابع F6 به دست می‌دهد.
- ۷- جواب بهتری برای تابع F7 به دست می‌دهد.
- ۸- زمان کمتری جهت تولید جواب برای تابع F1 صرف می‌کند.
- ۹- زمان کمتری جهت تولید جواب برای تابع F2 صرف می‌کند.
- ۱۰- زمان کمتری جهت تولید جواب برای تابع F3 صرف می‌کند.
- ۱۱- زمان کمتری جهت تولید جواب برای تابع F4 صرف می‌کند.
- ۱۲- زمان کمتری جهت تولید جواب برای تابع F5 صرف می‌کند.
- ۱۳- زمان کمتری جهت تولید جواب برای تابع F6 صرف می‌کند.
- ۱۴- زمان کمتری جهت تولید جواب برای تابع F7 صرف می‌کند.

برای آزمون فرضیه‌های فرعی، از آزمون t برای مقایسه میانگین دو جامعه دارای واریانس نامعلوم و نابرابر استفاده گردید. جامعه اول مورد بررسی را نتایج الگوریتم CSA قرار دادیم و جامعه دوم را نتایج الگوریتم پیشنهادی در نظر گرفتیم. با انجام محاسبات مربوط به آزمون آماری توسط نرم‌افزار Excel 2007، نتایج در جدول ۵ خلاصه گردید.

جدول ۵. نتایج آزمون آماری فرضیه‌های فرعی

نتیجه	P-Value	فرضیه‌های فرعی	نتیجه	P-Value	فرضیه‌های فرعی
مثبت	1.92E-117	۸	مثبت	3.44E-69	۱
مثبت	2.33E-119	۹	مثبت	6.29E-31	۲
منفی	1.00E+00	۱۰	مثبت	1.07E-60	۳
مثبت	8.00E-195	۱۱	مثبت	1.47E-09	۴
مثبت	8.92E-156	۱۲	مثبت	5.02E-20	۵
مثبت	3.97E-137	۱۳	مثبت	3.86E-14	۶
مثبت	4.11E-148	۱۴	مثبت	7.17E-28	۷

همان‌گونه که ملاحظه می‌شود، به جز فرضیه شماره ۱۰، بقیه فرضیه‌ها در سطح اطمینان بالای ۹۹ درصد تأیید شدند. فرضیه شماره ۱۰ - که مربوط به کارایی زمانی الگوریتم در تابع شماره ۳ است - نیز با تغییر پارامترها و تنظیم دقیق آنها قابل تأیید است. از طرف دیگر، «وانگ، لین و هوانگ» در ۲۰۱۰ در مقاله‌ای با عنوان «حل مسأله پشت شتر شش کوهانه با استفاده از الگوریتم تکاملی ترمودینامیکی» به حل تابع F7 پرداختند. آنها با تنظیم الگوریتم خود - به طوری که در هر تکرار ۱۰۰ جواب تولید شود و با ۱۵ بار تکرار آن - به نتایج مندرج در جدول ۶ دست یافتند.

جدول ۶. نتایج اجرای الگوریتم تکاملی ترمودینامیکی F7 روی تابع

F-min-val	X1	X2	Step
-1.031627816006554	-0.089933	0.7123900	1997
-1.031628310766583	0.0897910	-0.712526	2197
-1.031628417907029	-0.089903	0.7127110	2155
-1.031628453473775	0.0898420	-0.712655	2289
-1.031628452765956	-0.089842	0.7126470	1847
-1.031621705742450	0.0910380	-0.712344	2539
-1.031628453371039	-0.089846	0.7126540	5000
-1.031628445575145	0.0898690	-0.712683	2399
-1.031628115974580	-0.090134	0.7127050	1885
-1.031628443823104	0.0898920	-0.712659	2152

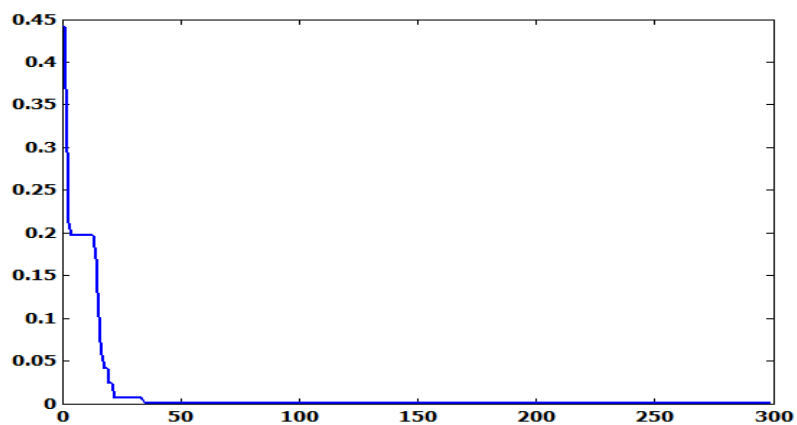
منبع: [۱۲]

با تحلیل نتایج و استخراج بدترین، بهترین و میانگین مقدار تابع از جدول مذکور و مقایسه آماری آن با نتایج الگوریتم پیشنهادی این مقاله مشخص می‌گردد که الگوریتم پیشنهادی، از حیث ارائه جواب نزدیک به بهینه، تفاوت معنی‌داری با الگوریتم «وانگ، لین و هوانگ» ندارد (P-value=0.35). جدول ۷ نتایج این مقایسه را نشان می‌دهد. شایان ذکر است که وانگ، لین و هوانگ، زمان دستیابی به نتایج توسط الگوریتم خود را ذکر ننموده‌اند، ولی با توجه به شواهد (تعداد گام‌های بسیار زیاد الگوریتم) زمان الگوریتم آنها بیشتر از زمان الگوریتم پیشنهادی به نظر می‌رسد.

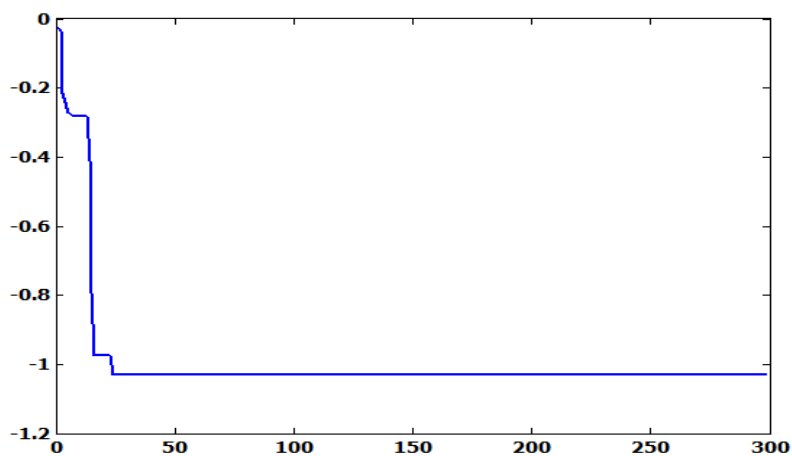
جدول ۷. مقایسه نتایج اجرای الگوریتم تکاملی ترمودینامیکی و الگوریتم پیشنهادی در مورد تابع F7

استاندارد همه مقادیر	مقدار میانگین	بدترین مقدار	بهترین مقدار
2.10297E-06	-1.031627662	-1.031621706	- الگوریتم وانگ، لین و هوانگ 1.031628453
7.5611E-07	-1.031627917	-1.031623874	- الگوریتم پیشنهادی 1.031628453

یکی از موارد بیان‌کننده کارایی الگوریتم‌های فرا ابتکاری در گام‌های مختلف، نمودارهای همگرایی هستند که متخصصان فرا ابتکاری‌ها با استفاده از آنها می‌توانند قضاوت‌هایی درباره عملکرد الگوریتم در همگرایی زودرس یا تعداد مناسب تکرارهای الگوریتم داشته باشند. نمودارهای ۱۱ و ۱۲، دو نمونه از نمودارهای همگرایی الگوریتم پیشنهادی است. از آنجا که جواب‌های آغازین الگوریتم، به صورت تصادفی، از فضای جواب انتخاب می‌شوند، بهترین این جواب‌ها اغلب مقدار تابع هدف را به شکل نامطلوبی زیاد نشان می‌دهند (با فرض اینکه تابع هدف به صورت کمینه‌سازی باشد). این امر باعث می‌شود نمودار همگرایی الگوریتم از مقدار بالا شروع شود و مقیاس نمودار، از نظر عمودی، بسیار افزایش یابد، به طوری که بهبودها در گام‌های بعدی چنان کوچک به نظر آیند که در نمودار قابل تشخیص نباشند.



نمودار همگرایی الگوریتم برای تابع F6



نمودار همگرایی الگوریتم برای تابع F7

نتیجه‌گیری و پیشنهادها

الگوریتم پیشنهادی، دارای این مزیت‌هاست: سرعت در اجراء، سادگی پیاده‌سازی و نزدیک بودن جواب‌های نهایی به بهینه سراسری. نتایج اجرای الگوریتم برای هفت تابع پیوسته معروف نشان داد که این الگوریتم در مقایسه با دو الگوریتم شبیه‌سازی تبرید و شبیه‌سازی تبرید مبتنی بر تئوری ابر، برتری کامل برخوردار دارد. از جمله مزایای روش فرا ابتکاری پیشنهادی می‌توان به موارد زیر اشاره کرد:

- ساده بودن ساختار الگوریتم
 - سرعت بالای اجرای الگوریتم به دلیل تک حلقه بودن الگوریتم اجرا
 - قابلیت فرار از بهینه‌های محلی
 - قابلیت جستجوی گسترده فضای جواب
 - پایایی الگوریتم (واریانس کم جوابهای نهایی اجراهای متعدد الگوریتم)
 - مستتر بودن مکانیزم همگرایی الگوریتم در روش تولید جواب
- الگوریتم فعلی را می‌توان در مورد سایر توابع پیوسته به کار برد و نتایج را با نتایج سایر الگوریتم‌ها مقایسه نمود. این الگوریتم همچنین قابلیت توسعه به منظور کاربرد در مسائل گسسته را دارد. به‌کارگیری این الگوریتم در مسائل بهینه‌یابی ترکیبیاتی واقعی، از جمله حوزه‌های بسیار وسیع قابل پیگیری توسط محققان است، زیرا گمان می‌رود مسائل قدیمی که با الگوریتم‌های قبلی حل گردیده‌اند، با استفاده از این الگوریتم، جواب‌های بهتری داشته باشند.

منابع

1. Blum, C., & Roli, A. (2003). Metaheuristics in combinatorial optimization: Overview and conceptual comparison. *ACM Comput. Surv.*, 35(3), 268-308. doi: 10.1145/937503.937505
2. Blum, C., & Roli, A. (2008). Hybrid Metaheuristics: An Introduction. In C. Blum, M. J. e. B. Aguilera, A. Roli & M. Sampels (Eds.), *Hybrid Metaheuristics* (pp. 1-30). Berlin: Springer-Verlag.
3. Borenstein, Y., & Poli, R. (2006). *Structure and metaheuristics*. Paper presented at the Proceedings of the 8th annual conference on Genetic and evolutionary computation, Seattle, Washington, USA.
4. Burke, E. K., & Kendall, G. (2005). Introduction. In E. K. Burke & G. Kendall (Eds.), *Search Methodologies: Introductory Tutorials in Optimization and Decision Support Techniques* (pp. 5-18). New York: Springer.
5. Ferland, J. A., Hertz, A., & Lavoie, A. (1996). An Object-Oriented Methodology for Solving Assignment-Type Problems with Neighborhood Search Techniques. *Operations Research*, 44(2), 347-359.
6. Gonzalez, T. F. (2007). Basic Methodologies. In T. F. Gonzalez (Ed.), *Handbook of Approximation Algorithms and Metaheuristics* (pp. 1.1-1.17). Boca Raton, FL, USA: Chapman and Hall/CRC.
7. Hendrix, E. M. T., & G.-Tóth, B. (2010). Goodness of optimization algorithms *Introduction to Nonlinear and Global Optimization* (Vol. 37, pp. 67-90): Springer New York.
8. Liu, J. (1999). The impact of neighbourhood size on the process of simulated annealing: Computational experiments on the flowshop scheduling problem. [doi: DOI: 10.1016/S0360-8352(99)00075-3]. *Computers & Industrial Engineering*, 37(1-2), 285-288.
9. LV, P., Yuan, L., & Zhang, J. (2009). Cloud theory-based simulated annealing algorithm and application. *Engineering Applications of Artificial Intelligence*, 22, 742-749.
10. Metaheuristics. (2011), 2011, from www.metaheuristic.com/metaheuristic_optimization.php
11. Talibi, E.-G. (2009). METAHEURISTICS: FROM DESIGN TO IMPLEMENTATION
12. Wang, X. (2010). *Solving Six-Hump Camel Back Function Optimization Problem by Using Thermodynamics Evolutionary Algorithm*.
13. Weise, T. (2007). *Global Optimization Algorithm: Theory and Application*
14. Xin, Y. (1991). Simulated Annealing with Extended Neighborhood. *International Journal of Computer Mathematics*, 40(3-4), 169-189.